

神戸大学工学部 正員 西 勝  
 神戸大学大学院 学生員 ○浦田隆司  
 神戸大学大学院 学生員 小畠博之

### 1. まえがき

たわみ性舗装の構造設計は、これまで理論的というよりもむしろ長期間の経験の積み重ねによって進展してきている。しかし、これらの経験を中心とした設計法では、過去に例のない舗装構造や新しい材料を用いた舗装を適当に評価できずか疑問である。さらに観測時の調査結果に基づいていっているので、観測時以上に増大した交通量あるいは車両の大型化に適用できるかどうかも疑問である。そこで、経験的な設計法に代わるものとして、より合理的な設計法が必要とされる。本研究はその第1段階として、たわみ性舗装の挙動が、構成材料の特性を表わすパラメーターの変動によって、どのような影響を受けるかを絶対量、相対量として明確したものである。

### 2. 解析方法

本解析に用いた材料特性を表わすパラメーターを表-1に示す。表層材の弾性変形係数 $M_{ls}$ は温度依存性<sup>(1)</sup>、路盤材と路床土の弾性定数(弾性変形係数、ポアソン比)は応力依存性<sup>(2)</sup>とした。なお、表層のポアソン比は0.4とした。温度については、冬は4°C、春と秋は17°C、夏は31°Cとした。

本解析の対象とする断面の諸量を図-1に示す。これらの断面は、交通タイプB、設計CBR4(%)の条件からアスファルト舗装要綱により設定したもので、以後、これら3断面をそれぞれ、20-20断面、10-60断面、TA25断面と呼ぶことにする。たわみ性舗装の挙動を表わす指標として、図-1に示す表面変位 $w_0$ 、表層下面に生じる引張りひずみ $\epsilon_r$ 、疲労破壊が生じるまでの載荷回数 $N_f$ を採用した。その載荷回数 $N_f$ は、Witzakの提案した次式によつて求めた、

$$N_f = a \cdot b^d \left(\frac{1}{\epsilon_r}\right)^c \quad \text{ここで, } N_f: \text{疲労破壊が生じるまでの載荷回数, } \epsilon_r: \text{表層下面の引張りひずみ, } t: \text{舗装温度(F), } a = 1.86351 \times 10^{-17}, b = 1.01916, c = 4.995, d = 1.45$$

上記指標に対する解析法としては、反復有限要素法を用いた。計算条件としては、対象とする材料は各層内ですべて均質、等方性と仮定し、節点数138、三角要素数235に分割した。節点荷重に関しては円形接触面を仮定し、接触半径10.7(cm)、接地圧749(%)の等分布荷重を採用了。境界条件としては、すべて、幅280(cm)、全層厚は400(cm)とし、両側面はローラ支承、底面は固定支承とした。

### 3. 絶対量としての感度分析結果

#### 3.1 表面変位 $w_0$ に及ぼす材料特性の影響について

1例として、20-20断面、17°Cの場合における材料特性を表わす各パラメーターの表面変位 $w_0$ に及ぼす影響を図-2に示す。図より、路床の弾性定数( $M_{ls}$ ,  $K_s$ )の影響が大きめで、他の材料の弾性定数の影響はさわめて小さいことがわかる。図は省略するが、このことは他の2断面についても認められていく。しかし、温度が

表-1 材料特性を表わすパラメーター			
表層材 密粒度アスファルトコアクリート	弾性変形係数 $M_{ls}$	4°C (冬) $M_{ls} = 95000 (\text{kg/cm}^2)$	31°C (夏) $M_{ls} = 9100 (\text{kg/cm}^2)$
	ポアソン比 $K_s$	$K_s = 0.4$	
	温度	$M_{ls} = 1250 P^{0.68} (\text{kg/cm}^2)$	
路盤材 切込み碎石	弾性変形係数 $M_{lb}$	$M_{lb} = 0.345 \eta - 0.07 \eta^2$	
	ポアソン比 $K_b$	$K_b = 0.25$	
路床 粘土 CBR4%の 粘性土	弾性変形係数 $M_{ls}$	$M_{ls} = -1.00072 + 0.02465 \eta + 0.00174 \eta^2$	
	ポアソン比 $K_s$	$K_s = -0.0835 \eta + 0.2522 \eta + 0.129$	

P: 平均主応力 (kg/cm<sup>2</sup>) η: 偏差応力 (kg/cm<sup>2</sup>) λ: 応力比 (%)

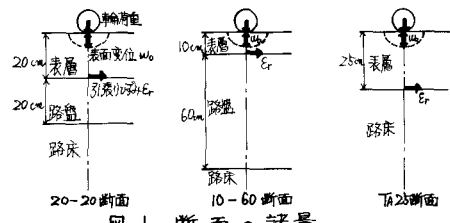


図-1 断面の諸量

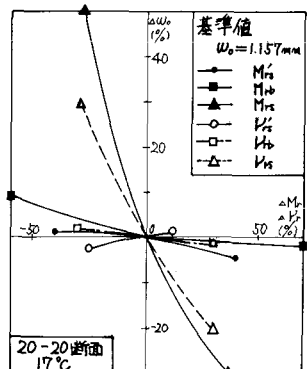


図-2 表面変位 $w_0$ に及ぼす各パラメータの影響

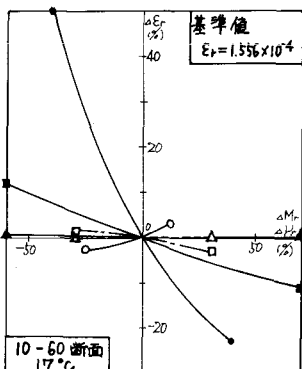


図-3 引張りひずみ $\epsilon_r$ に及ぼす各パラメータの影響

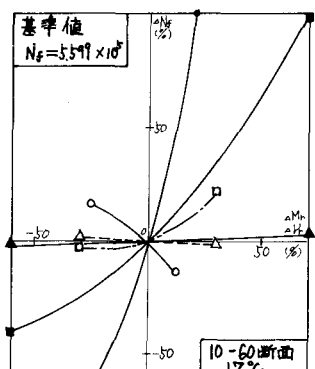


図-4 載荷回数 $N_f$ に及ぼす各パラメータの影響

31°Cと高くなると、路床の弾性定数の影響は若干減少し、他の材料の弾性定数の影響がやや増加するようである。

### 3.2 表層下面に生じる引張りひずみ $\epsilon_r$ に及ぼす材料特性の影響について

図-3は、1例として、10-60断面、17°Cの場合における材料特性を表わす各パラメーターの引張りひずみ $\epsilon_r$ に及ぼす影響を示している。図より、表層の弾性変形係数 $M'_r$ の影響が大きいことがわかる。図は省略するが、特に表層が厚いT-25断面、20-20断面になると、その影響は増加するようである。また、路盤の弾性変形係数 $M_b$ の影響は、表層が薄く路盤の厚い10-60断面では図-3のようにやや大きいが、20-20断面では減少するこれが認められている。一方、温度が高くなると、表層の弾性変形係数 $M'_r$ の影響はかなり減少し、他の材料の弾性定数（特に路盤の弾性変形係数 $M_b$ ）の影響が増加するようである。

### 3.3 疲労破壊が生じるまでの載荷回数 $N_f$ に及ぼす材料特性の影響について

図-4は、10-60断面、17°Cの場合における材料特性を表わす各パラメーターの載荷回数 $N_f$ に及ぼす影響を示している。各断面、各温度とも、引張りひずみ $\epsilon_r$ と比べて変動率は大きいが、傾向はよく似ているようである。

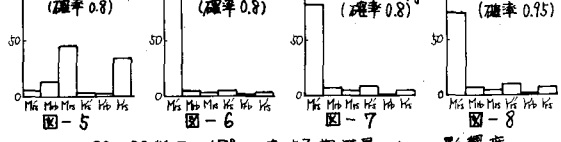
### 4. 実験誤差による相対量としての感度分析法とその結果

材料特性を表わす各パラメーターの実験誤差によるバラツキが正規分布に従うと仮定し、過去の実験データより、ある確率（ここでは、0.5, 0.8, 0.95）でおさまるような各パラメーターの変動幅を定め、それを使いて、3つの指標（表面変位 $w_0$ 、引張りひずみ $\epsilon_r$ 、疲労破壊が生じるまでの載荷回数 $N_f$ ）に対する相対量としての影響度を求めた。この変動幅は、実験誤差のみによるものであって、施工条件などは考慮していない。

表面変位 $w_0$ 、引張りひずみ $\epsilon_r$ については、確率が異なっても、相対量としての影響度にはほとんど差異は認められないもので、確率0.8で代表させた。表面変位 $w_0$ に関しては、温度が低い場合、図-5のように路床の弾性定数（ $M_b$ ,  $K_s$ ）の影響が大きいが、温度が高くなると、図は省略するが、表層の弾性変形係数 $M'_r$ の影響が増加するようである。引張りひずみ $\epsilon_r$ については、図-6のように、表層の弾性変形係数 $M'_r$ の影響がきわめて大きい。図は省略するが、温度が31°Cと高くなると、それは幾分減少する。載荷回数 $N_f$ については、図-7のように、引張りひずみ $\epsilon_r$ の傾向ほど顕著ではないが、よく似ている。しかし、確率を大きくすると、図-8のように表層の弾性変形係数 $M'_r$ の影響はやや減少し、他のパラメーターの影響が若干増加する傾向にある。

### 参考文献

- (1) 西：舗装に関する最近の問題と新しい技術、土木学会関西支部昭和53年度講習会テキスト
- (2) 西、宮川：繰返し荷重を受けた粒状土の弾性的挙動について、第11回土質工学研究発表会講演集、1976



20-20断面、17°Cにおける相対量としての影響度